

Ленинградская Ленинград
 Начальник пр. П. П. Дятлов
 Т. инж. пр. П. П. Шулман
 Инженер пр. П. П. Колосов
 Инженер пр. П. П. Колосов
 Инженер пр. П. П. Бок
 Проект структурирован в 1974 году
 Автор пр. П. П. Дятлов
 Инженер пр. П. П. Шулман
 Инженер пр. П. П. Колосов
 Инженер пр. П. П. Колосов
 Инженер пр. П. П. Бок
 Ленинград 1974 г.

Наименование нагрузок	Собственный вес прол. строения	Собственный вес балласта с частями пути	Собственный вес пролетного строения	Собственный вес меньшего пролетного строения	Собственный вес балласта большего прол. строен.	Собственный вес балласта меньшего прол. строен.	Собственный вес переходной тумбы	Расчетные нагрузки для расчета на выносливость для расчета на прочность											
								Нормативные нагрузки			Коэффициенты			вертик.			гориз.		
								Р ^н	Н ^н	М ^н	1+И	Б	Л	Р ^р	Н ^г	М ^г	Р ^г	Н ^г	М ^г
Собственный вес прол. строения	25.8	—	—	—	—	—	—	1.1	25.8	—	—	28.4	—	—	—	—			
Собственный вес балласта с частями пути	24.0	—	—	—	—	—	—	1.3	24.0	—	—	31.2	—	—	—	—			
Собственный вес насадки	12.6	—	—	—	—	—	—	1.1	12.6	—	—	13.9	—	—	—	—			
Всего по I ^а схеме загрузки	62.4	—	—	—	—	—	—	—	62.4	—	—	73.5	—	—	—	—			
Собственный вес пролетного строения	25.8	—	—	—	—	—	—	0.9	25.8	—	—	23.2	—	—	—	—			
Собственный вес балласта с частями пути	24.0	—	—	—	—	—	—	0.9	24.0	—	—	21.6	—	—	—	—			
Собственный вес насадки	12.6	—	—	—	—	—	—	0.9	12.6	—	—	11.3	—	—	—	—			
Всего по I ^б схеме загрузки	62.4	—	—	—	—	—	—	—	62.4	—	—	56.1	—	—	—	—			
Вес большего пролетного строения	—	—	—	—	—	—	—	—	—	—	—	—	—	—	—	—			
Вес меньшего пролетного строения	—	—	—	—	—	—	—	—	—	—	—	—	—	—	—	—			
Вес балласта большего прол. строен.	—	—	—	—	—	—	—	—	—	—	—	—	—	—	—	—			
Вес балласта меньшего прол. строен.	—	—	—	—	—	—	—	—	—	—	—	—	—	—	—	—			
Вес насадки	—	—	—	—	—	—	—	—	—	—	—	—	—	—	—	—			
Вес переходной тумбы	—	—	—	—	—	—	—	—	—	—	—	—	—	—	—	—			
Всего по II схеме загрузки	—	—	—	—	—	—	—	—	—	—	—	—	—	—	—	—			
I ^а схема загрузки	—	—	—	—	—	—	—	—	62.4	—	—	—	73.5	—	—	—			
Временная подвижная нагрузка на 2 ^х пролетах	21.2	1145	121.4	—	—	—	—	1.318	0.85	1.266	136.0	—	—	202.0	—	—			
Всего по III ^а схеме загрузки	—	—	—	—	—	—	—	—	—	—	—	—	—	275.5	—	—			
I ^б схема загрузки	—	—	—	—	—	—	—	—	62.4	—	—	—	56.1	—	—	—			
Временная подвижная нагрузка на 2 ^х пролетах	21.2	1145	121.4	—	—	—	—	1.318	0.85	1.266	136.0	—	—	202.0	—	—			
Всего по III ^б схеме загрузки	—	—	—	—	—	—	—	—	—	—	—	—	—	258.1	—	—			
I ^а схема загрузки	—	—	—	—	—	—	—	—	62.4	—	—	—	56.1	—	—	—			
Временная подвижная нагрузка на одном (большем) пролете	24.65	5.73	70.6	—	0.325	23.0	1.389	0.978	1.283	96.0	—	31.2	126.0	—	40.9	—			
Всего по IV ^а схеме загрузки	—	—	—	—	—	—	—	—	—	—	—	—	—	—	—	—			
I ^а схема загрузки	—	—	—	—	—	—	—	—	62.4	—	—	—	73.5	—	—	—			
Временная подвижная нагрузка на 2 ^х пролетах	21.2	1145	121.4	—	—	—	—	1.318	—	1.01	—	—	162.0	—	—	—			
Торможение на 2 ^х пролетах	14	5.73	—	8.0	0.96	7.7	1.0	—	1.03	—	—	—	8.2	7.9	—	—			
Всего по V ^а схеме загрузки	—	—	—	—	—	—	—	—	—	—	—	—	—	—	—	—			
I ^б схема загрузки	—	—	—	—	—	—	—	—	62.4	—	—	—	56.1	—	—	—			
Врем. подвиж. нагрузка на 2 ^х пролетах	21.2	1145	121.4	—	—	—	—	1.318	—	1.01	—	—	162.0	—	—	—			
Торможение на 2 ^х пролетах	14	5.73	—	8.0	0.96	7.7	1.0	—	1.03	—	—	—	8.2	7.9	—	—			
Всего по V ^б схеме загрузки	—	—	—	—	—	—	—	—	—	—	—	—	—	—	—	—			
I ^а схема загрузки	—	—	—	—	—	—	—	—	62.4	—	—	—	56.1	—	—	—			
Врем. подвиж. нагрузка на одном (большем) прол.	24.65	5.73	70.6	—	0.325	23.0	1.389	—	1.03	—	—	100.5	—	32.8	—	—			
Торможение на одном (большем) прол.	14	5.73	—	8.0	0.96	7.7	1.0	—	1.03	—	—	—	8.2	7.9	—	—			
Всего по VI ^а схеме загрузки	—	—	—	—	—	—	—	—	—	—	—	—	—	—	—	—			
I ^б схема загрузки	—	—	—	—	—	—	—	—	62.4	—	—	—	56.1	—	—	—			
Поперечный ветер на прол. ств.	1.0	1145	5.7	—	—	—	—	1.318	—	0.8	—	—	6.0	—	—	—			
Поперечный ветер на проезжей части	—	—	—	—	0.48	1.36	0.65	—	1.2	—	—	—	—	0.58	0.78	—			
Поперечный ветер на подвиж. состав	—	—	—	—	0.18	1.91	0.34	—	1.2	—	—	—	—	0.22	0.41	—			
Поперечный ветер на прол. ств.	—	—	—	—	1.80	4.06	7.30	—	1.2	—	—	—	—	2.16	8.75	—			
Всего по VII ^а схеме загрузки	—	—	—	—	—	—	—	—	—	—	—	—	—	—	—	—			
I ^а схема загрузки	—	—	—	—	—	—	—	—	62.4	—	—	—	56.1	—	—	—			
Врем. подвиж. нагрузка на 2 ^х пролетах	21.2	1145	121.4	—	—	—	—	1.318	—	1.01	—	—	162.0	—	—	—			
Боковые удары подвиж. состава	14	1145	—	4.8	2.06	9.88	—	—	1.01	—	—	—	—	4.85	9.98	—			
Всего по VIII ^а схеме загрузки	—	—	—	—	—	—	—	—	—	—	—	—	—	—	—	—			
I ^б схема загрузки	—	—	—	—	—	—	—	—	62.4	—	—	—	56.1	—	—	—			
Врем. подвиж. нагрузка на 2 ^х пролетах	21.2	1145	121.4	—	—	—	—	1.318	—	1.01	—	—	162.0	—	—	—			
Боковые удары подвиж. состава	14	1145	—	4.8	2.06	9.88	1.0	—	1.01	—	—	—	—	4.85	9.98	—			
Всего по VIII ^б схеме загрузки	—	—	—	—	—	—	—	—	—	—	—	—	—	—	—	—			

Схемы загрузки:

I^а схема - Постоянная нагрузка от собственного веса прол. строения длиной 60 м, веса балласта с частями пути и веса насадки с коэф. перегрузки $\eta > 1$

I^б схема - То же с коэффициентами перегрузки $\eta < 1$

II схема - Постоянная нагрузка от собственного веса прол. строения длиной - м, веса балласта с частями пути веса насадки и переходной тумбы с коэффициентами перегрузки $\eta < 1$

III^а схема - I^а схема загрузки + временная подвижная нагрузка на 2^х пролетах.

III^б схема - I^б схема загрузки + временная подвижная нагрузка на 2^х пролетах.

IV^а схема - II схема загрузки + временная подвижная нагрузка на одном (большем) пролете.

IV^б схема - I^б схема загрузки + временная подвижная нагрузка на 2^х пролетах + торможение.

V^а схема - I^а схема загрузки + временная подвижная нагрузка на 2^х пролетах + торможение.

V^б схема - II схема загрузки + временная нагрузка на одном (большем) пролете + торможение.

VI^а схема - I^а схема загрузки + поперечный ветер на пролетное строение, проезжую часть и подвижной состав.

VI^б схема - I^б схема загрузки + поперечный ветер на пролетное строение, проезжую часть и подвижной состав.

VII^а схема - I^а схема загрузки + временная подвижная нагрузка на 2^х пролетах + боковые удары подвижного состава.

VII^б схема - I^б схема загрузки + временная подвижная нагрузка на 2^х пролетах + боковые удары подвижного состава.

Примечания:

1. Технические условия СНиП Д-Т-62* и СН 200-62.
2. Временная вертикальная подвижная нагрузка С 14
3. Нагрузки приведены для пролетных строений по типовому проекту инв. № 557 с нормальной строительной высотой.
4. На настоящем листе приведены нагрузки на промежуточные опоры мостов, расположенных на прямых участках пути.
5. Сбор нагрузок произведен в уровне низа насадки толщиной 89 см относительно ее центра.
6. По приведенным на настоящем чертеже усилиям производится расчет свай и стоек на прочность, выносливость и трещиностойкость (по определению раскрытия трещин величиной 0,1 мм)

Министерство транспортного строительства Ленинград	Ленинград 1974 г.
Сборные железобетонные мосты пролетами до 15 м при высоте насыпи до 8 м под железную дорогу нормальной колеи	Расчет промежуточной опоры на прямых участках пути Усилия по низу насадки.
708/12	3

Ленинград
 Ленгипротрансмаст
 Исполнил: [подпись]
 Проверил: [подпись]
 Рук. проекта: [подпись]
 Рук. группы: [подпись]
 Камарова
 Кошары
 Кончалов
 Шелеман
 Чапанов
 Проект: [подпись]
 оп. коррективов в 1974г
 Брусил
 Брусиловский
 Комарова

Наименование нагрузок	Углы наклона к гориз. (град)	Длина загр. (м)	Нормативные нагрузки			Коэффициенты			Расчетные нагрузки				
			Вертик. Н ^в (т)	Гориз. Н ^г (т)	Экв. пром. момент (М/тм)	1+μ	ε	п	Для расчета на выносливость		Для расчета на прочность		
									Вертик. Р ^в (т)	Гориз. Н ^г (т)	Узгид. момент М ^в (тм)	Вертик. Р ^в (т)	Гориз. Н ^г (т)
Основные сочетания													
I ^а 135+135													
Собственный вес прол. строений	—	—	69,0	—	—	—	—	1,1	89,0	—	—	75,9	—
Вес балласта с частями пути	—	—	54,0	—	—	—	—	1,3	54,0	—	—	79,2	—
Вес насадки	—	—	12,6	—	—	—	—	1,1	12,6	—	—	13,9	—
Всего по I ^а схеме загрузки	—	—	135,6	—	—	—	—	—	135,6	—	—	160,0	—
I ^б 135+135													
Собственный вес пролетных строений	—	—	69,0	—	—	—	—	0,9	59,0	—	—	62,1	—
Вес балласта с частями пути	—	—	54,0	—	—	—	—	0,9	54,0	—	—	48,6	—
Вес насадки	—	—	12,6	—	—	—	—	0,9	12,6	—	—	11,4	—
Всего по I ^б схеме загрузки	—	—	135,6	—	—	—	—	—	135,6	—	—	122,1	—
II 60+135													
Вес дальнего пролетного строения	—	—	34,5	—	0,375	12,9	—	0,9	34,5	—	12,9	34,1	11,6
Вес меньшего пролетного строения	—	—	12,9	—	0,325	-4,2	—	0,9	12,9	—	-4,2	11,6	-3,8
Вес балласта дальнего прол. строения	—	—	27,0	—	0,375	10,1	—	0,9	27,0	—	10,1	24,3	9,1
Вес балласта меньшего прол. строения	—	—	12,0	—	0,375	-3,9	—	0,9	12,0	—	-3,9	10,8	-3,5
Вес насадки	—	—	12,6	—	—	—	—	0,9	12,6	—	—	11,4	—
Вес переходной тумбы	—	—	5,6	—	0,4	-2,2	—	0,9	5,6	—	-2,2	5,0	-2,0
Всего по II схеме загрузки	—	—	104,6	—	—	12,7	—	—	104,6	—	12,7	94,2	11,4
I ^а схема загрузки	—	—	135,6	—	—	—	—	—	135,6	—	—	160,0	—
Временная подвижная нагрузка на 2 ^х пролетах	1705	2635	224,2	—	—	—	—	1,216	0,858	1,221	234,0	—	—
Всего по III ^а схеме загрузки	—	—	359,8	—	—	—	—	—	369,6	—	—	493,0	—
III ^б 135+135													
I ^а схема загрузки	—	—	135,6	—	—	—	—	—	135,6	—	—	122,1	—
Временная подвижная нагрузка на 2 ^х пролетах	1705	2635	224,2	—	—	—	—	1,216	0,858	1,221	234,0	—	—
Всего по III ^б схеме загрузки	—	—	359,8	—	—	—	—	—	369,6	—	—	455,1	—
IV 60+135													
II схема загрузки	—	—	104,6	—	—	12,7	—	—	104,6	—	12,7	94,2	11,4
Временная подвижная нагрузка на одном (большем) пролете	2053	13,18	135,0	—	0,375	50,6	1,302	0,85	1,261	149,2	—	56,0	222,0
Всего по IV схеме загрузки	—	—	239,6	—	—	63,3	—	—	253,6	—	68,7	316,2	94,7
I ^а схема загрузки	—	—	135,6	—	—	—	—	—	—	—	—	160,0	—
Временная подв. нагр. на 2 ^х пролетах	1705	2635	224,2	—	—	—	—	1,216	—	—	—	266,5	—
Торможение на 2 ^х пролетах	14	13,18	—	18,5	1,0	18,5	1,0	—	1,01	—	—	18,7	18,7
Всего по V ^а схеме загрузки	—	—	359,8	—	—	18,5	—	—	—	—	—	426,5	18,7
V ^б 135+135													
I ^а схема загрузки	—	—	135,6	—	—	—	—	—	—	—	—	122,1	—
Временная подв. нагр. на 2 ^х пролетах	1705	2635	224,2	—	—	—	—	1,216	—	—	—	266,5	—
Торможение на 2 ^х пролетах	14	13,18	—	18,5	1,0	18,5	1,0	—	1,01	—	—	18,7	18,7
Всего по V ^б схеме загрузки	—	—	359,8	18,5	—	18,5	1,0	—	—	—	—	388,6	18,7
VI 60+135													
II схема загрузки	—	—	104,6	—	—	12,7	—	—	—	—	—	94,2	11,4
Врем. подв. нагр. на одном (большем) прол.	2053	13,18	135,0	—	0,375	50,6	1,302	—	1,01	—	—	177,2	66,5
Торможение на одном (большем) пролете	14	13,18	—	18,5	1,0	18,5	1,0	—	1,01	—	—	18,7	18,7
Всего по VI схеме загрузки	—	—	239,6	18,5	—	81,8	—	—	—	—	—	271,4	18,7
VII 135+135													
I ^б схема загрузки	—	—	135,6	—	—	—	—	—	—	—	—	122,1	—
Порожняк на 2 ^х пролетах	1,0	26,35	13,2	—	—	—	—	1,216	—	0,8	—	12,8	—
Поперечный ветер на прол. строен.	—	—	—	2,09	1,89	3,95	—	—	1,2	—	—	—	2,51
Поперечный ветер на проезжей чась	—	—	—	0,41	2,81	1,15	—	—	1,2	—	—	—	0,49
Поперечный ветер на подв. состав	—	—	—	4,05	4,96	20,1	—	—	1,2	—	—	—	4,86
Всего по VII схеме загрузки	—	—	148,8	6,55	—	25,2	—	—	—	—	—	134,9	7,86
VIII 135+135													
I ^а схема загрузки	—	—	135,6	—	—	—	—	—	—	—	—	160,0	—
Врем. подв. нагрузка на 2 ^х пролетах	1705	2635	224,2	—	—	—	—	1,216	—	0,977	—	266,5	—
Боковые удары подв. состава	14	26,35	—	11,1	2,96	32,9	1,0	—	0,977	—	—	10,9	32,3
Всего по VIII ^а схеме загрузки	—	—	359,8	11,1	—	32,9	—	—	—	—	—	426,5	10,9
VIII ^б 135+135													
I ^б схема загрузки	—	—	135,6	—	—	—	—	—	—	—	—	122,1	—
Врем. подв. нагрузка на 2 ^х пролетах	1705	2635	224,2	—	—	—	—	1,216	—	0,977	—	266,5	—
Боковые удары подв. состава	14	26,35	—	11,1	2,96	32,9	1,0	—	0,977	—	—	10,9	32,3
Всего по VIII ^б схеме загрузки	—	—	359,8	11,1	—	32,9	—	—	—	—	—	388,6	10,9

Схемы загрузки:

- I^а схема - Постоянная нагрузка от собственного веса прол. строений длиной 135 м, веса балласта с частями пути и веса насадки с коэффиц. перегрузки $p > 1$
- I^б схема - То же с коэффицентами перегрузки $p < 1$
- II схема - Постоянная нагрузка от собственного веса прол. строений длиной 60 и 135 м, веса балласта с частями пути, веса насадки и переходной тумбы с коэффицентами перегрузки $p < 1$
- III^а схема - I^а схема загрузки + временная подвижная нагрузка на 2^х пролетах.
- III^б схема - I^б схема загрузки + временная подвижная нагрузка на 2^х пролетах.
- IV схема - II схема загрузки + временная подвижная нагрузка на одном (дальшем) пролете
- V^а схема - I^а схема загрузки + временная подвижная нагрузка на 2^х пролетах + торможение.
- V^б схема - I^б схема загрузки + временная подвижная нагрузка на 2^х пролетах + торможение
- VI схема - II схема загрузки + временная нагрузка на одном (дальшем) пролете + торможение
- VII схема - I^а схема загрузки + порожняк на 2^х пролетах + поперечный ветер на пролетное строение, проезжую часть и подвижной состав.
- VIII^а схема - I^а схема загрузки + временная подв. нагрузка на 2^х пролетах + боковые удары подвижного состава.
- VIII^б схема - I^б схема загрузки + временная подвижная нагрузка на 2^х пролетах + боковые удары подвижного состава.

Примечания:

1. Технические условия СНиП Д-7-62* и СН 200-62
2. Временная вертикальная подвижная нагрузка с 14
3. Нагрузки определены для пролетных строений по типовому проекту инв. N557 с нормальной строительной высотой.
4. На настоящем листе приведены нагрузки на промежут. опоры мостов, расположенных на прямых участках пути.
5. Сбор нагрузок произведен в уровне низа насадки, толщиной 89 см относительно ее центра.
6. По приведенным на настоящем чертеже усилиям производится расчет свай и стоек на прочность, выносливость и трещиностойкость (по ограничению раскрытия трещин величиной 0,1 мм)

Министерство транспорта и строительства Ленгипротрансмаст	Ленинград 1974 г
Сборные железобетонные мосты пролетами до 15 м при высоте насыпи до 8 м под железную дорогу нормальной колеи.	Расчет промежуточных опор на прямых участках пути. Усилия по низу насадки (продолжение)
Типовой проект часть 2	708/12 6

Л.И. строк	Примечание	Высота стропы	Марка стоек	Усилия в стойках при R=100			Усилия в стойках при H=100			Усилия в стойках при M=100			Усилия в стойках для расчета на прочность (II схема загрузки)						Усилия в стойках для расчета на выносливость (IV схема загрузки)						Усилия в стойках для расчета на трещиностойкость (IV схема загрузки)						Предельные изгибающие моменты, воспринимаемые сечением					
				N	M _B	M _H	N	M _B	M _H	N	M _B	M _H	Усилия по низу насадки			Усилия в стойках			Усилия по низу насадки			Усилия в стойках			M _{пр}	M' _{пр}	M'' _{пр}									
													R	H	M	N _{max}	N _{min}	M _B	M _H	R	H	M	N _{max}	N _{min}				M _B	M _H	R	H	M	N _{max}	N _{min}	M _B	M _H
1		2	C25-35-3	167	0	0	+33,0	-14,0	17,0	+35,5	0,86	0,85	156,6	8,2	40,7	43,3	9,0	-9,8	1,7	158,4	0	31,2	37,6	15,4	0,27	0,27	133,0	0	23,0	30,4	14,0	0,20	0,20	9,3	7,2	6,7
2		3	C35-35-3	167	0	0	+50,0	-22,5	25,5	+35,5	0,84	0,86	156,6	8,2	40,7	44,7	7,7	-1,5	2,4	158,4	0	31,2	37,6	15,4	0,26	0,27	133,0	0	23,0	30,4	14,0	0,19	0,20	9,2	7,2	6,7
3		4	C45-35-3	167	0	0	+69,0	-31,0	34,0	+35,5	0,83	0,87	156,6	8,2	40,7	46,2	6,0	-2,2	3,1	158,4	0	31,2	37,6	15,4	0,26	0,27	133,0	0	23,0	30,4	14,0	0,19	0,20	8,9	7,2	6,7
4		5	C55-35-3	167	0	0	+85,0	-38,5	42,0	+35,5	0,85	0,85	156,6	8,2	40,7	47,6	4,8	-2,8	3,8	158,4	0	31,2	37,6	15,4	0,27	0,27	133,0	0	23,0	30,4	14,0	0,20	0,20	8,8	7,2	6,7
5		6	C65-35-3	167	0	0	+102,0	-46,5	51,0	+35,5	0,87	0,83	156,6	8,2	40,7	48,9	3,4	-3,4	4,5	158,4	0	31,2	37,6	15,4	0,27	0,26	133,0	0	23,0	30,4	14,0	0,20	0,19	8,6	7,2	6,7
6		2	C20-35-3	167	0	0	+24,0	-11,0	13,0	+35,5	0,87	0,84	210,4	12,8	60,4	59,7	10,5	-0,9	2,2	199,3	0	41,7	48,1	18,5	0,36	0,35	181,0	0	35,8	42,9	17,5	0,31	0,30	9,5	7,5	7,0
7		3	C30-35-3	167	0	0	+42,0	-19,0	21,5	+35,5	0,85	0,85	210,4	12,8	60,4	62,0	8,2	-1,9	3,3	199,3	0	41,7	48,1	18,5	0,35	0,36	181,0	0	35,8	42,9	17,5	0,30	0,30	9,2	7,5	7,0
8		4	C40-35-3	167	0	0	+60,0	-27,0	29,5	+35,5	0,84	0,87	210,4	12,8	60,4	64,2	6,0	-3,0	4,3	199,3	0	41,7	48,1	18,5	0,35	0,36	181,0	0	35,8	42,9	17,5	0,30	0,31	8,9	7,5	7,0
9		5	C50-35-3	167	0	0	+78,0	-35,0	38,5	+35,5	0,84	0,87	210,4	12,8	60,4	66,6	3,6	-4,0	5,5	199,3	0	41,7	48,1	18,5	0,35	0,36	181,0	0	35,8	42,9	17,5	0,30	0,31	8,7	7,5	7,0
10		6	C60-35-3	167	0	0	+94,0	-42,5	46,5	+35,5	0,875	0,84	210,4	12,8	60,4	68,6	1,7	-4,9	6,5	199,3	0	41,7	48,1	18,5	0,37	0,35	181,0	0	35,8	42,9	17,5	0,31	0,30	8,3	7,5	7,0
11		7	C70-40-3	167	0	0	+110,0	-50,5	55,5	+35,5	0,89	0,82	210,4	12,8	60,4	70,6	-0,4	-5,9	7,6	199,3	0	41,7	48,1	18,5	0,37	0,34	181,0	0	35,8	42,9	17,5	0,32	0,29	18,0	15,0	13,3
12		8	C80-40-3	167	0	0	+127,0	-57,5	64,0	+35,5	0,91	0,79	210,4	12,8	60,4	72,8	-2,6	-8,8	8,7	199,3	0	41,7	48,1	18,5	0,38	0,33	181,0	0	35,8	42,9	17,5	0,33	0,28	17,7	15,0	13,3
13		2	C15-35-3	167	0	0	+15,0	-6,5	8,0	+35,5	0,87	0,84	241,8	15,8	83,1	72,3	8,5	-0,3	2,0	225,5	0	58,7	58,4	16,8	0,51	0,49	210,7	0	53,1	54,0	16,3	0,46	0,45	9,2	7,5	6,8
14		3	C25-35-3	167	0	0	+33,0	-14,0	17,0	+35,5	0,86	0,85	241,8	15,8	83,1	75,1	5,7	-1,5	3,4	225,5	0	58,7	58,4	16,8	0,51	0,50	210,7	0	53,1	54,0	16,3	0,46	0,45	8,9	7,5	6,8
15		4	C35-35-3	167	0	0	+50,0	-22,5	25,5	+35,5	0,84	0,86	241,8	15,8	83,1	77,8	3,0	-2,9	4,7	225,5	0	58,7	58,4	16,8	0,49	0,50	210,7	0	53,1	54,0	16,3	0,45	0,46	8,5	7,5	6,8
16		5	C45-35-3	167	0	0	+69,0	-31,0	34,0	+35,5	0,83	0,87	241,8	15,8	83,1	80,8	-0,02	-4,2	6,1	225,5	0	58,7	58,4	16,8	0,49	0,51	210,7	0	53,1	54,0	16,3	0,44	0,46	8,1	7,5	6,8
17		6	C55-35-3	167	0	0	+85,0	-38,5	42,0	+35,5	0,85	0,85	241,8	15,8	83,1	83,3	-2,5	-5,4	7,4	225,5	0	58,7	58,4	16,8	0,50	0,50	210,7	0	53,1	54,0	16,3	0,45	0,45	7,8	7,5	6,8
18		7	C65-40-3	167	0	0	+102,0	-46,5	51,0	+35,5	0,87	0,83	241,8	15,8	83,1	86,0	-5,2	-6,6	8,8	225,5	0	58,7	58,4	16,8	0,51	0,49	210,7	0	53,1	54,0	16,3	0,46	0,44	17,4	14,8	13,2
19		8	C75-40-3	167	0	0	+119,0	-54,0	60,0	+35,5	0,90	0,81	241,8	15,8	83,1	88,7	-7,9	-7,8	10,2	225,5	0	58,7	58,4	16,8	0,53	0,48	210,7	0	53,1	54,0	16,3	0,48	0,43	16,9	14,8	13,2
20		4	C35-35-4	167	0	0	+50,0	-22,5	25,5	+35,5	0,84	0,86	271,4	18,7	96,6	89,0	1,7	-3,4	5,6	253,8	0	68,7	66,8	18,0	0,58	0,59	239,6	0	63,3	62,5	17,5	0,53	0,54	10,4	9,4	7,0
21		5	C45-35-4	167	0	0	+69,0	-31,0	34,0	+35,5	0,83	0,87	271,4	18,7	96,6	92,6	-1,9	-5,0	7,2	253,8	0	68,7	66,8	18,0	0,57	0,60	239,6	0	63,3	62,5	17,5	0,53	0,55	10,1	9,4	7,0
22		6	C55-35-4	167	0	0	+85,0	-38,5	42,0	+35,5	0,85	0,85	271,4	18,7	96,6	95,5	-4,9	-6,4	8,7	253,8	0	68,7	66,8	18,0	0,58	0,58	239,6	0	63,3	62,5	17,5	0,54	0,54	9,7	9,4	7,0
23		4	C35-35-4	167	0	0	+50,0	-22,5	25,5	+35,5	0,84	0,86	313,2	22,6	116,6	104,6	-0,03	-4,1	6,8	295,0	0	83,0	78,7	19,8	0,70	0,70	281,5	0	78,2	74,8	19,3	0,66	0,67	10,3	8,8	7,2
24		5	C45-35-4	167	0	0	+69,0	-31,0	34,0	+35,5	0,83	0,87	313,2	22,6	116,6	108,9	-4,3	-6,0	8,7	295,0	0	83,0	78,7	19,8	0,69	0,72	281,5	0	78,2	74,8	19,3	0,65	0,68	9,9	8,8	7,2
25		6	C55-35-4	167	0	0	+85,0	-38,5	42,0	+35,5	0,85	0,85	313,2	22,6	116,6	112,5	-7,9	-7,8	10,5	295,0	0	83,0	78,7	19,8	0,71	0,71	281,5	0	78,2	74,8	19,3	0,67	0,67	13,3	11,0	12,8
26		7	C65-40-4	167	0	0	+102,0	-45,0	52,5	+35,5	1,13	1,13	271,4	18,7	96,6	98,7	-8,1	-7,3	10,9	253,8	0	68,7	66,8	18,0	0,78	0,78	239,6	0	63,3	62,5	17,5	0,72	0,72	16,9	14,9	13,3
27		7	C65-40-4	167	0	0	+102,0	-45,0	52,5	+35,5	1,13	1,13	313,2	22,6	116,6	116,4	-11,9	-8,9	13,1	295,0	0	83,0	78,7	19,8	0,94	0,94	281,5	0	78,2	74,8	19,3	0,88	0,88	23,6	21,0	19,9

Примечания:

1. Марки стоек назначены в соответствии с несущей способностью их по прочности, выносливости и трещиностойкости - ограничению раскрытия трещин величиной 0,1 мм (см. графики в проекте инв. №946).
 Обозначения в марке стойки С25-35-3:
 С - стойка
 25 - длина стойки в м.
 35 - сторона поперечного сечения в см.
 3 - тип армирования.
 Длины стоек приняты по сборочным чертежам опор в части I проекта.
 2. Усилия по низу насадки см. на листах 3-7.

Условные обозначения:

N, M_B, M_H - продольное усилие в стойке, изгибающие моменты стойки в местах заделки в насадку и в фундаментный стакан.
 R, H, M - вертикальное, горизонтальное усилия, изгибающий момент, действующие по низу и в центре насадки.

Инв. № 946
 Шкала 1:50
 Проект откорректирован в 1974е
 Нач. отд. п.п. Матомов
 Нач. отд. п.п. Дурман
 Нач. отд. п.п. Комарова
 Нач. отд. п.п. Брук
 Нач. отд. п.п. Кизимин
 Нач. отд. п.п. Матомов
 Нач. отд. п.п. Дурман
 Нач. отд. п.п. Комарова
 Нач. отд. п.п. Брук
 Нач. отд. п.п. Кизимин
 Ленинград
 Ленинград

Министерство транспортного строительства Ленинпротрансстрой		Ленинград 1974е.
Сборные железобетонные мосты пролетами до 15 м при высоте насыпи до 8 м под участком пути железную дорогу нормальная колеи.	Расчет промежуточных опор на прямых участках пути	Типовой проект часть 2
Усилия в стойках		708/12 9

Уч. № Шифр 1645

Проект откорректирован в 1974 г

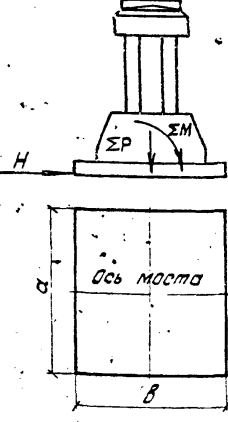
Архитектор
Щульман
Кондрова
Бенкерова
Далецкий
Л. П.
П. П.
П. П.
П. П.

Ленинград
Министерство транспорта

Прочность основания по грунту		Геометрические характеристики фундамента		Усилия по подошве фунда		Максимальное напряжение по подошве фунда		
α	β	$F = \alpha \beta$	$W = \frac{\alpha \beta^2}{6}$	ΣP	ΣM	$\sigma_{max} = \frac{\Sigma P}{F} + \frac{\Sigma M}{W}$		
м	м	м ²	м ³	т	тм	кг/см ²		
60+60		2	3,2	13,4	7,1	264	31	2,4
60+60		2	3,8	15,9	10,1	275	31	2,0
60+60		3	3,2	13,4	7,1	266	40	2,6
60+60		3	3,8	15,9	10,1	277	40	2,1
60+60		4	3,2	13,4	7,1	268	48	2,7
60+60		4	3,8	15,9	10,1	278	48	2,2
60+60		5	3,2	13,4	7,1	270	56	2,8
60+60		5	3,8	15,9	10,1	280	56	2,3
60+60		6	3,8	15,9	10,1	283	65	2,4
93+93		2	4,4	18,4	13,5	370	44	2,3
93+93		2	3,8	15,9	10,1	359	44	2,7
93+93		3	4,4	18,4	13,5	372	56	2,4
93+93		3	3,8	15,9	10,1	361	56	2,8
93+93		4	3,8	15,9	10,1	363	69	3,0
93+93		4	4,4	18,4	13,5	374	69	2,5
93+93		5	3,8	15,9	10,1	365	82	3,1
93+93		5	4,4	18,4	13,5	376	82	2,7
93+93		5	5,4	22,8	20,3	413	86	2,3
93+93		6	3,8	15,9	10,1	367	95	3,3
93+93		6	4,4	18,4	13,5	378	95	2,8
93+93		6	5,4	22,8	20,3	415	99	2,3
93+93		7	4,4	18,4	13,5	385	107	2,9
93+93		7	5,4	22,8	20,3	429	114	2,5
93+93		8	4,4	18,4	13,5	388	120	3,0
93+93		8	5,4	22,8	20,3	432	126	2,5
11,5+11,5		2	3,8	15,9	10,1	398	48	3,0
11,5+11,5		2	4,4	18,4	13,5	407	48	2,8
11,5+11,5		3	3,8	15,9	10,1	400	62	3,1
11,5+11,5		3	4,4	18,4	13,5	410	62	2,7
11,5+11,5		4	5,4	22,8	20,3	443	66	2,3
11,5+11,5		4	3,8	15,9	10,1	402	78	3,3
11,5+11,5		4	4,4	18,4	13,5	412	78	2,8
11,5+11,5		4	5,4	22,8	20,3	445	82	2,4
11,5+11,5		5	3,8	15,9	10,1	404	93	3,5
11,5+11,5		5	4,4	18,4	13,5	413	93	2,9
11,5+11,5		5	5,4	22,8	20,3	447	98	2,5
11,5+11,5		6	4,4	18,4	13,5	415	109	3,1
11,5+11,5		6	5,4	22,8	20,3	449	115	2,6
11,5+11,5		7	4,4	18,4	13,5	422	126	3,2
11,5+11,5		7	5,4	22,8	20,3	455	131	2,7
11,5+11,5		8	4,4	18,4	13,5	424	143	3,4
11,5+11,5		8	5,4	22,8	20,3	465	148	2,8
13,5+13,5		4	4,4	18,4	13,5	468	92	3,2
13,5+13,5		4	5,4	22,8	20,3	501	99	2,7
13,5+13,5		4	6	25,1	25,1	519	97	2,4
13,5+13,5		5	5,4	22,8	20,3	503	119	2,8
13,5+13,5		5	6	25,1	25,1	515	119	2,5
13,5+13,5		6	5,4	22,8	20,3	505	138	2,9
13,5+13,5		6	6	25,1	25,1	517	138	2,6
13,5+13,5		7	5,4	22,8	20,3	521	157	3,1
13,5+13,5		7	6	25,1	25,1	535	157	2,8
16,5+16,5		4	4,4	18,4	13,5	545	107	3,8
16,5+16,5		4	5,4	22,8	20,3	582	117	3,2
16,5+16,5		4	6	25,1	25,1	595	117	2,8
16,5+16,5		5	5,4	22,8	20,3	584	138	3,3
16,5+16,5		5	6	25,1	25,1	597	138	2,9
16,5+16,5		6	5,4	22,8	20,3	588	160	3,4
16,5+16,5		6	6	25,1	25,1	599	160	3,0
16,5+16,5		7	5,4	22,8	20,3	602	182	3,6
16,5+16,5		7	6	25,1	25,1	617	182	3,2

Положение равнодействующей активной сил		Устойчивость положения основания																
Геометрические характеристики фундамента		Против скольжения		Против опрокидывания														
α	β	$\rho = \frac{W}{F}$	ΣP	ΣM	ΣP	ΣM												
60+60		5	4,18	3,2	0,53	128	0	0	198	78,3	0,75	187	8,2	0,4	0,11	187	79,2	0,26
60+60		6	4,18	3,8	0,63	139	0	0	209	86,3	0,66	197	8,2	0,4	0,10	197	87,2	0,23
93+60		6	4,18	3,8	0,63	158	3,1	0,031	259	130	0,80	245	12,9	0,4	0,13	245	132	0,28
93+60		8	4,18	4,4	0,73	177	3,1	0,024	277	155	0,77	262	12,9	0,4	0,12	262	158	0,27
93+60		8	4,18	5,4	0,90	216	3,1	0,016	315	160	0,57	296	12,9	0,4	0,11	296	163	0,20
11,5+60		5	4,18	3,8	0,63	157	8,1	0,086	276	146	0,84	261	15,8	0,4	0,15	261	147	0,30
11,5+60		8	4,18	4,4	0,73	175	8,5	0,067	294	193	0,90	278	15,8	0,4	0,14	278	194	0,32
11,5+60		8	4,18	5,4	0,90	210	8,5	0,045	329	199	0,67	310	15,8	0,4	0,13	310	200	0,24
13,5+60		4	4,18	4,4	0,73	181	12,7	0,096	316	155	0,67	300	18,7	0,4	0,16	300	155	0,24
13,5+60		7	4,18	5,4	0,90	229	12,7	0,062	364	218	0,67	343	18,7	0,4	0,14	343	219	0,24
13,5+60		7	4,18	6,0	1,00	240	12,7	0,053	375	218	0,58	353	18,7	0,4	0,13	353	219	0,21
16,5+60		7	4,18	5,4	0,90	256	18,9	0,082	414	267	0,72	388	22,6	0,4	0,15	388	265	0,25
16,5+60		7	4,18	6,0	1,00	268	18,9	0,071	426	267	0,63	400	22,6	0,4	0,14	400	265	0,22

Схема опоры



Примечания:

1. Расчеты на прочность основания фундамента по грунту произведены на усилия P и M от дополнительного сочетания нагрузок (постоянные нагрузки с коэффициентом нагрузки $\gamma > 1$, временная вертикальная нагрузка на двух пролетах, торможение).
2. Проверка положения равнодействующей активной сил произведена:
 - а) при учете только постоянных нормативных нагрузок
 - б) при дополнительном сочетании нагрузок (нормативные постоянные и временная вертикальная нагрузка на одном пролете, торможение).
3. Расчеты на устойчивость положения фундамента против опрокидывания и скольжения произведены на усилия P , N и M от дополнительного сочетания нагрузок (постоянные нагрузки с коэффициентом перегрузки $\gamma < 1$, временная вертикальная нагрузка на одном пролете, торможение).

Министерство транспортного строительства Ленинград		Ленинград 1974 г
Сварные железобетонные, масты пролетами до 15 м при высоте насыпи до 8 м под железную дорогу нормальной колеи.	Расчет промежуточного опор на прямых участках пути. Расчет фундаментов.	Типовой проект Часть 2 708/12 10

Проект реконструкции в 1974

Ленинград
Ленгипротрансмост
Исполнител:
Проверил:
Дир. группы:
Аук. группа:
Кукушкин
Комарова
Шульман
Артамонов
Арзаманов
Брусилов
Сверил

Советский Союз	Расчет	Схема	Примеч.	Наименование нагрузок	Равномерная нагрузка кт/м	Длина загрузки λ (м)	Нормативные нагрузки				Коэффициенты			Расчетные нагрузки													
							бертук р" т	гориз. Н" т	экс. пр. нагруз. м	изгуб. момент М (тм)	1+м	ε	π	для расчета на вынос		для расчета на прочность											
														бертук р" т	гориз. Н" т	изгуб. момент М (тм)	бертук р" т	гориз. Н" т	изгуб. момент М (тм)								
III ^a схема нагружения														359,8	—	—	—	—	—	—	—	369,6	—	—	493,0	—	—
Центрабежная сила		C _н =300-1200 = 0,15к		17,05	26,35	—	33,5	4,962	166	1,216	0,858	1,221	—	35,0	173,5	—	50,0	247									
		C _н =1500 = 0,12к		17,05	26,35	—	27	4,962	134	1,216	0,858	1,221	—	28,2	140	—	40,0	200									
		C _н =1800 = 0,10к		17,05	26,35	—	22,5	4,962	111,5	1,216	0,858	1,221	—	23,5	120	—	33,5	166									
		C _н =2000 = 0,09к		17,05	26,35	—	20	4,962	99	1,216	0,858	1,221	—	20,9	103	—	29,8	148									
Всего по III ^a схеме нагружения		R = 300-1200		—	—	—	359,8	33,5	—	166	—	—	—	369,6	35,0	173,5	493,0	50,0	247								
		R = 1500		—	—	—	359,8	27	—	134	—	—	—	—	369,6	28,2	140	493,0	40,0	200							
		R = 1800		—	—	—	359,8	22,5	—	111,5	—	—	—	—	369,6	23,5	120	493,0	33,5	166							
		R = 2000		—	—	—	359,8	20	—	99	—	—	—	—	369,6	20,9	103	493,0	29,8	148							
III ^b схема нагружения		C _н =300-1200 = 0,15к		17,05	26,35	—	33,5	4,962	166	1,216	0,858	1,221	—	35,0	173,5	—	50,0	247									
		C _н =1500 = 0,12к		17,05	26,35	—	27	4,962	134	1,216	0,858	1,221	—	28,2	140	—	40,0	200									
		C _н =1800 = 0,10к		17,05	26,35	—	22,5	4,962	111,5	1,216	0,858	1,221	—	23,5	120	—	33,5	166									
		C _н =2000 = 0,09к		17,05	26,35	—	20	4,962	99	1,216	0,858	1,221	—	20,9	103	—	29,8	148									
Всего по III ^b схеме нагружения		R = 300-1200		—	—	—	359,8	33,5	—	166	—	—	—	369,6	35,0	173,5	455,1	50,0	247								
		R = 1500		—	—	—	359,8	27	—	134	—	—	—	—	369,6	28,2	140	455,1	40,0	200							
		R = 1800		—	—	—	359,8	22,5	—	111,5	—	—	—	—	369,6	23,5	120	455,1	33,5	166							
		R = 2000		—	—	—	359,8	20	—	99	—	—	—	—	369,6	20,9	103	455,1	29,8	148							
III ^c схема нагружения		C _н =300-1200 = 0,15к		17,05	26,35	—	33,5	4,962	166	1,216	0,858	1,221	—	35,0	173,5	—	50,0	247									
		C _н =1500 = 0,12к		17,05	26,35	—	27	4,962	134	1,216	0,858	1,221	—	28,2	140	—	40,0	200									
		C _н =1800 = 0,10к		17,05	26,35	—	22,5	4,962	111,5	1,216	0,858	1,221	—	23,5	120	—	33,5	166									
		C _н =2000 = 0,09к		17,05	26,35	—	20	4,962	99	1,216	0,858	1,221	—	20,9	103	—	29,8	148									
Всего по III ^c схеме нагружения		R = 300-1200		—	—	—	359,8	33,5	—	166	—	—	—	369,6	35,0	173,5	455,1	50,0	247								
		R = 1500		—	—	—	359,8	27	—	134	—	—	—	—	369,6	28,2	140	455,1	40,0	200							
		R = 1800		—	—	—	359,8	22,5	—	111,5	—	—	—	—	369,6	23,5	120	455,1	33,5	166							
		R = 2000		—	—	—	359,8	20	—	99	—	—	—	—	369,6	20,9	103	455,1	29,8	148							
III ^d схема нагружения		C _н =300-1200 = 0,15к		17,05	26,35	—	33,5	4,962	166	1,216	0,858	1,221	—	35,0	173,5	—	50,0	247									
		C _н =1500 = 0,12к		17,05	26,35	—	27	4,962	134	1,216	0,858	1,221	—	28,2	140	—	40,0	200									
		C _н =1800 = 0,10к		17,05	26,35	—	22,5	4,962	111,5	1,216	0,858	1,221	—	23,5	120	—	33,5	166									
		C _н =2000 = 0,09к		17,05	26,35	—	20	4,962	99	1,216	0,858	1,221	—	20,9	103	—	29,8	148									
Всего по III ^d схеме нагружения		R = 300-1200		—	—	—	359,8	33,5	—	166	—	—	—	369,6	35,0	173,5	455,1	50,0	247								
		R = 1500		—	—	—	359,8	27	—	134	—	—	—	—	369,6	28,2	140	455,1	40,0	200							
		R = 1800		—	—	—	359,8	22,5	—	111,5	—	—	—	—	369,6	23,5	120	455,1	33,5	166							
		R = 2000		—	—	—	359,8	20	—	99	—	—	—	—	369,6	20,9	103	455,1	29,8	148							
III ^e схема нагружения		C _н =300-1200 = 0,15к		17,05	26,35	—	33,5	4,962	166	1,216	0,858	1,221	—	35,0	173,5	—	50,0	247									
		C _н =1500 = 0,12к		17,05	26,35	—	27	4,962	134	1,216	0,858	1,221	—	28,2	140	—	40,0	200									
		C _н =1800 = 0,10к		17,05	26,35	—	22,5	4,962	111,5	1,216	0,858	1,221	—	23,5	120	—	33,5	166									
		C _н =2000 = 0,09к		17,05	26,35	—	20	4,962	99	1,216	0,858	1,221	—	20,9	103	—	29,8	148									
Всего по III ^e схеме нагружения		R = 300-1200		—	—	—	359,8	33,5	—	166	—	—	—	369,6	35,0	173,5	455,1	50,0	247								
		R = 1500		—	—	—	359,8	27	—	134	—	—	—	—	369,6	28,2	140	455,1	40,0	200							
		R = 1800		—	—	—	359,8	22,5	—	111,5	—	—	—	—	369,6	23,5	120	455,1	33,5	166							
		R = 2000		—	—	—	359,8	20	—	99	—	—	—	—	369,6	20,9	103	455,1	29,8	148							
III ^f схема нагружения		C _н =300-1200 = 0,15к		17,05	26,35	—	33,5	4,962	166	1,216	0,858	1,221	—	35,0	173,5	—	50,0	247									
		C _н =1500 = 0,12к		17,05	26,35	—	27	4,962	134	1,216	0,858	1,221	—	28,2	140	—	40,0	200									
		C _н =1800 = 0,10к		17,05	26,35	—	22,5	4,962	111,5	1,216	0,858	1,221	—	23,5	120	—	33,5	166									
		C _н =2000 = 0,09к		17,05	26,35	—	20	4,962	99	1,216	0,858	1,221	—	20,9	103	—	29,8	148									
Всего по III ^f схеме нагружения		R = 300-1200		—	—	—	359,8	33,5	—	166	—	—	—	369,6	35,0	173,5	455,1	50,0	247								
		R = 1500		—	—	—	359,8	27	—	134	—	—	—	—	369,6	28,2	140	455,1	40,0	200							
		R = 1800		—	—	—	359,8	22,5	—	111,5	—	—	—	—	369,6	23,5	120	455,1	33,5	166							
		R = 2000		—	—	—	359,8	20	—	99	—	—	—	—	369,6	20,9	103	455,1	29,8	148							
III ^g схема нагружения		C _н =300-1200 = 0,15к		17,05	26,35	—	33,5	4,962	166	1,216	0,858	1,221	—	35,0	173,5	—	50,0	247									
		C _н =1500 = 0,12к		17,05	26,35	—	27	4,962	134	1,216	0,858	1,221	—	28,2	140	—	40,0	200									
		C _н =1800 = 0,10к		17,05	26,35	—	22,5	4,962	111,5	1,216	0,858	1,221	—	23,5	120	—	33,5	166									
		C _н =2000 = 0,09к		17,05	26,35	—	20	4,962	99	1,216	0,858	1,221	—	20,9	103	—	29,8	148									
Всего по III ^g схеме нагружения		R = 300-1200		—	—	—	359,8	33,5	—	166	—	—	—	369,6	35,0	173,5	455,1	50,0	247								
		R = 1500		—	—	—	359,8	27	—	134	—	—	—	—	369,6	28,2	140	455,1	40,0	200							
		R = 1800		—	—	—	359,8	22,5	—	111,5	—	—	—	—	369,6	23,5	120	455,1	33,5	166							
		R = 2000		—	—	—	359,8	20	—	99	—	—	—	—	369,6	20,9	103	455,1	29,8	148							
III ^h схема нагружения		C _н =300-1200 = 0,15к		17,05	26,35	—	33,5	4,962	166	1,216	0,858	1,221	—	35,0	173,5	—	50,0	247									
		C _н =1500 = 0,12к		17,05	26,35	—	27	4,962	134	1,216	0,858	1,221	—	28,2	140	—	40,0	200									
		C _н =1800 = 0,10к		17,05	26,35	—	22,5	4,962	111,5	1,216	0,858	1,221	—	23,5	120	—	33,5	166									
		C _н =2000 = 0,09к		17,05	26,35	—	20	4,962	99	1,216	0,858	1,221	—	20,9	103	—	29,8	148									
Всего по III ^h схеме нагружения		R = 300-1200		—	—	—	359,8	33,5	—	166	—	—	—	369,6	35,0	173,5	455,1	50,0	247								
		R = 1500		—	—	—	359,8	27	—	134	—	—	—	—	369,6	28,2	140	455,1	40,0	200							
		R = 1800		—	—	—	359,8	22,5	—	111,5	—	—	—	—	369,6	23,5	120	455,1	33,5	166							
		R = 2000		—	—	—	359,8	20	—	99	—	—	—	—	369,6	20,9	103	455,1	29,8	148							
III ⁱ схема нагружения		C _н =300-1200 = 0,15к		17,05	26,35	—	33,5	4,962	166</																		

№ строк	Притыкающие параллельные строения	Радиус кривой	Высота насыпи	Марка стоек	Усилия в стойках при P=100			Усилия в стойках при H=100			Усилия в стойках при M=100			Усилия в стойках для расчета на прочность (I-XI схема закрепления)						Усилия в стойках для расчета на выносливость (I-XII схема закрепления)						Усилия в стойках для расчета на трещиностойкость (I-XIII схема закрепления)						Пределные избыточные моменты, воспринимаемые сечением					
					N	M _B	M _H	N	M _B	M _H	Усилия по низу насыпки			Усилия в стойках			Усилия по низу насыпки			Усилия в стойках			Усилия по низу насыпки			Усилия в стойках			M	M'	M''						
											ρ	Н	М	N _{max}	N _{min}	M _B	M _H	ρ	Н	М	N _{max}	N _{min}	M _B	M _H	ρ	Н	М	N _{max}				N _{min}	M _B	M _H			
1	2	3	4	5	6	7	8	9	10	11	12	13	14	15	16	17	18	19	20	21	22	23	24	25	26	27	28	29	30	31	32	33					
1	6,0	300-1200	3	С35-35-3	16,7	0	0	±25,0	-24,0	24,5	±17,1	0,13	0,13	218,1	27,3	109,0	31,2	11,0	-6,5	5,8	198,4	20,4	83,0	52,4	13,8	-4,8	5,1	183,8	18,2	74,0	47,9	13,5	-4,3	4,6	9,5	7,1	6,5
2	6,0	1500	3	С35-35-3	16,7	0	0	±25,0	-24,0	24,5	±17,1	0,13	0,13	218,1	22,4	88,7	57,2	15,5	-5,3	5,6	198,4	16,2	66,0	48,5	17,7	-3,8	4,1	183,8	14,5	59,0	44,7	17,0	-3,4	3,7	10,1	7,7	6,9
3	6,0	1500	5	С35-35-5	16,7	0	0	±42,0	-40,5	41,0	±17,1	0,13	0,13	218,1	22,4	88,7	57,2	11,8	-9,0	9,3	198,4	16,2	66,0	51,2	15,0	-6,5	6,8	183,8	14,5	59,0	46,9	14,5	-5,8	6,0	13,0	10,3	10,1
4	6,0	1800	6	С45-35-4	16,7	0	0	±33,5	-32,0	32,5	±17,1	0,13	0,13	218,1	19,2	75,4	55,7	17,1	-5,0	5,3	198,4	13,6	55,0	47,1	19,1	-4,2	4,5	183,8	12,1	49,0	43,2	18,2	-3,8	4,0	12,5	10,0	8,1
5	6,0	1800	8	С45-35-4	16,7	0	0	±50,5	-49,0	49,5	±17,1	0,13	0,13	218,1	19,2	75,4	59,1	13,8	-3,3	3,6	198,4	13,6	55,0	49,4	16,8	-5,6	6,8	183,8	12,1	49,0	45,2	16,2	-5,8	6,1	12,0	9,7	7,8
6	6,0	2000	4	С45-35-3	16,7	0	0	±33,5	-32,0	32,5	±17,1	0,13	0,13	218,1	17,6	68,5	54,0	18,8	-5,5	5,8	198,4	12,2	49,3	45,6	20,6	-3,8	4,1	183,8	10,9	44,0	41,9	19,5	-3,4	3,6	10,5	7,9	7,3
7	6,0	2000	6	С45-35-4	16,7	0	0	±50,5	-49,0	49,5	±17,1	0,13	0,13	218,1	17,6	68,5	57,0	15,8	-8,5	8,8	198,4	12,2	49,3	47,7	18,5	-5,9	6,1	183,8	10,9	44,0	43,7	17,7	-5,2	5,5	12,3	9,8	8,0
8	6,0	3000	4	С45-35-3	16,7	0	0	±33,5	-32,0	32,5	±17,1	0,13	0,13	218,1	12,7	50,0	51,4	21,4	-5,1	6,4	198,4	8,2	33,6	43,0	23,2	-3,9	4,2	183,8	7,3	30,0	39,5	21,9	-3,6	3,7	10,7	8,3	7,5
9	6,0	3000	6	С45-35-3	16,7	0	0	±50,5	-49,0	49,5	±17,1	0,13	0,13	218,1	12,7	50,0	51,4	21,4	-5,1	6,4	198,4	8,2	33,6	43,0	23,2	-3,9	4,2	183,8	7,3	30,0	39,5	21,9	-3,6	3,7	10,7	7,9	7,3
10	9,3	300-1200	2	С20-35-3	16,7	0	0	±12,0	-11,5	12,0	±17,1	0,13	0,13	297,1	37,4	168,8	83,2	15,2	-4,1	4,7	274,6	27,5	128,0	71,0	20,6	-3,0	3,5	261,6	25,6	119,0	67,1	20,3	-2,7	3,3	10,0	7,9	7,3
11	9,3	1500	4	С40-35-4	16,7	0	0	±29,3	-28,0	28,5	±17,1	0,13	0,13	297,1	31,1	139,3	82,4	16,6	-8,5	9,1	274,6	22,1	102,5	69,8	21,8	-5,1	5,4	261,6	20,6	95,5	68,0	21,4	-5,7	6,0	12,3	9,2	8,5
12	9,3	1800	3	С30-35-3	16,7	0	0	±20,5	-19,5	20,0	±17,1	0,13	0,13	297,1	27,8	117,8	75,3	23,7	-5,2	5,8	274,6	19,2	85,0	64,0	27,6	-3,4	3,7	261,6	17,1	79,0	60,7	26,7	-3,2	3,5	11,0	8,2	8,0
13	9,3	1800	5	С50-35-4	16,7	0	0	±37,7	-36,0	36,5	±17,1	0,13	0,13	297,1	27,8	117,8	80,1	18,9	-9,8	10,3	274,6	18,2	85,0	67,2	24,4	-6,4	6,7	261,6	17,1	79,0	63,7	23,7	-6,1	6,4	12,7	9,4	8,8
14	9,3	2000	4	С40-35-3	16,7	0	0	±29,3	-28,0	28,5	±17,1	0,13	0,13	297,1	24,7	108,8	75,3	23,7	-5,8	7,1	274,6	16,6	76,5	63,8	27,2	-4,5	4,8	261,6	15,5	71,5	60,5	26,9	-4,2	4,5	11,0	8,1	8,1
15	9,3	2000	7	С70-40-7	16,7	0	0	±55,0	-52,8	54,0	±17,1	0,173	0,173	297,1	24,7	108,8	81,7	17,3	-12,1	13,5	274,6	16,5	76,5	68,0	23,6	-8,7	9,1	261,6	15,5	71,5	64,4	23,0	-8,1	8,5	23,1	18,8	16,8
16	9,3	3000	4	С40-35-3	16,7	0	0	±29,3	-28,0	28,5	±17,1	0,13	0,13	297,1	18,1	78,8	68,3	30,7	-5,0	5,3	274,6	11,0	51,0	57,7	33,9	-3,0	3,2	261,6	10,3	47,5	54,8	32,5	-2,8	3,0	11,7	8,5	8,8
17	9,3	3000	6	С60-35-4	16,7	0	0	±46,5	-44,5	45,0	±17,1	0,13	0,13	297,1	18,1	78,8	71,4	27,6	-7,9	8,2	274,6	11,0	51,0	59,6	32,0	-4,8	5,1	261,6	10,3	47,5	56,6	30,8	-4,5	4,7	13,6	8,4	8,7
18	9,3	3000	8	С80-40-8	16,7	0	0	±63,0	-61,0	62,5	±17,1	0,173	0,173	297,1	18,1	78,8	74,4	24,6	-10,9	11,4	274,6	11,0	51,0	61,4	30,2	-6,8	7,0	261,6	10,3	47,5	58,3	29,1	-6,2	6,5	21,7	16,7	15,0
19	11,5	300-1200	2	С15-35-3	16,7	0	0	±8,0	-7,2	7,5	±17,1	0,13	0,13	344,5	43,0	200,4	35,3	19,9	-2,8	3,5	321,6	31,5	151,0	82,1	25,3	-2,1	2,6	311,6	30,0	144,0	79,1	25,1	-2,0	2,5	10,6	7,4	7,9
20	11,5	1500	4	С35-35-4	16,7	0	0	±25,0	-23,7	24,2	±17,1	0,13	0,13	344,5	35,9	165,4	94,2	20,4	-8,3	8,9	321,6	25,0	121,0	80,7	26,7	-5,7	6,2	311,6	24,0	115,0	77,8	26,4	-5,5	6,0	12,8	8,7	8,1
21	11,5	1800	3	С25-35-3	16,7	0	0	±18,5	-15,5	16,0	±17,1	0,13	0,13	344,5	31,0	141,4	86,8	23,4	-4,5	5,2	321,6	21,0	101,0	74,5	32,9	-3,2	3,5	311,6	20,0	96,0	71,8	32,4	-3,0	3,3	11,5	7,7	8,8
22	11,5	1800	5	С45-35-4	16,7	0	0	±33,5	-32,0	32,5	±17,1	0,13	0,13	344,5	31,0	141,4	92,1	23,1	-9,7	10,3	321,6	21,0	101,0	78,0	29,4	-8,6	8,9	311,6	20,0	96,0	75,2	29,0	-6,3	6,6	13,2	8,8	9,5
23	11,5	2000	4	С35-35-4	16,7	0	0	±25,0	-23,7	24,2	±17,1	0,13	0,13	344,5	28,5	129,9	85,9	28,3	-3,5	7,1	321,6	19,0	91,0	74,0	33,4	-4,4	4,7	311,6	18,0	86,5	71,4	32,8	-4,2	4,5	13,5	8,0	9,8
24	11,5	2000	6	С35-40-7	16,7	0	0	±42,0	-40,4	41,3	±17,1	0,173	0,173	344,5	28,5	129,9	91,8	23,4	-11,3	12,0	321,6	19,0	91,0	77,2	30,2	-7,5	8,1	311,6	18,0	86,5	74,5	29,7	-7,2	7,5	23,9	18,3	17,8
25	11,5	3000	4	С35-35-3	16,7	0	0	±25,0	-23,7	24,2	±17,1	0,13	0,13	344,5	21,2	94,4	79,0	36,2	-4,3	5,2	321,6	12,5	60,5	69,2	38,2	-4,9	5,2	311,6	12,0	57,5	66,9	37,3	-4,7	5,0	25,1	18,8	18,9
26	11,5	3000	6	С55-40-7	16,7	0	0	±42,0	-40,2	40,9	±17,1	0,173	0,173	344,5	21,2	94,4	82,5	32,6	-8,4	8,9	321,6	12,5	60,5	69,2	38,2	-4,9	5,2	311,6	12,0	57,5	68,9	35,3	-6,7	7,1	24,7	18,7	18,5
27	11,5	3000	8	С75-40-7	16,7	0	0	±58,0	-56,9	58,1	±17,1	0,173	0,173	344,5	21,2	94,4	86,3	29,2	-11,3	12,5	321,6	12,5	60,5	71,3	36,1	-7,0	7,4	311,6	12,0	57,5	68,9	35,3	-6,7	7,1	24,7	18,7	18,5
28	13,5	1500	4	С35-35-6	16,7	0	0	±25,0	-23,7	24,2	±17,1	0,13	0,13	388,6	39,9	182,7	107,3	22,5	-9,3	9,9	369,6	28,2	140,0	92,7	30,7	-6,5	7,0	359,6	27,0	134,0	89,8	30,4	-6,2	6,7	16,6	10,3	13,1
29	13,5	1800	4	С35-35-6	16,7	0	0	±25,0	-23,7	24,2	±17,1	0,13	0,13	388,6	34,9	163,2	101,5	28,3	-8,1	8,5	369,6	23,5	120,0	88,1	35,3	-5,4	5,9	359,6	22,5	111,5	88,7	31,5	-8,9	9,5	21,3	15,4	15,2
30	13,5	1800	6	С55-40-6	16,7	0	0	±42,0	-40,4	41,3	±17,1	0,173	0,173	388,6	34,9	163,2	107,5	22,3	-13,8	14,7	369,6	23,5	120,0	92,1	31,3	-9,3	9,9	359,6	22,5	111,5	84,8	35,4	-5,2	5,5	17,1	10,5	13,6

Имя: Шмидт 1876
 Проект: Откарыктирован в 1974г
 Исполнитель: Ленинград
 Проверил: [Имя]
 Утвердил: [Имя]

Прочность основания по грунту															
Геометрические характеристики фундамента					Усилия по подошве фундамента					Максимальное напряжение по подошве фундамента					
m	a	b	F=ab	Wz=ba²/6	ΣP	800-1200					1500-2000				
						mm	mm	mm	mm	mm	mm	mm	mm	mm	mm
2	3,2	13,4	9,5	295	182	129	107	96	65	3,7	3,8	3,4	3,2	2,9	
2	3,8	15,9	11,1	306	182	129	107	96	65	3,4	3,1	2,9	2,8	2,5	
3	3,2	13,4	9,5	297	185	147	122	110	75	4,2	3,8	3,5	3,4	3,0	
3	3,8	15,9	11,1	308	185	147	122	110	75	3,6	3,3	3,0	2,9	2,6	
4	3,2	13,4	9,5	299	186	138	124	84	—	4,0	3,7	3,6	3,1	—	
4	3,8	15,9	11,1	309	186	138	124	84	—	3,4	3,2	3,1	2,7	—	
5	3,2	13,4	9,5	301	184	153	138	94	—	4,2	3,9	3,7	2,7	—	
5	3,8	15,9	11,1	311	184	153	138	94	—	3,6	3,3	3,2	2,9	—	
6	3,8	15,9	11,1	311	188	152	102	—	—	3,1	3,1	3,1	2,9	—	
6	4,4	18,4	12,8	324	188	152	102	—	—	3,1	3,1	3,1	2,9	—	
2	3,8	15,9	11,1	401	226	182	151	135	91	4,6	4,2	3,9	3,7	3,3	
2	4,4	18,4	12,8	412	226	182	151	135	91	4,0	3,7	3,4	3,4	3,0	
3	3,8	15,9	11,1	403	208	172	156	103	—	4,4	4,1	4,0	3,5	—	
3	4,4	18,4	12,8	414	208	172	156	103	—	3,9	3,6	3,5	3,1	—	
4	3,8	15,9	11,1	405	233	193	175	116	—	4,8	4,3	4,1	3,6	—	
4	4,4	18,4	12,8	418	233	193	175	116	—	4,1	3,8	3,6	3,2	—	
5	3,8	15,9	11,1	407	214	194	129	—	—	4,5	4,3	3,7	—	—	
5	4,4	18,4	12,8	418	223	202	134	—	—	4,0	3,8	3,3	—	—	
6	3,8	15,9	11,1	409	—	214	142	—	—	—	4,5	3,8	—	—	
6	4,4	18,4	12,8	420	—	214	142	—	—	—	4,0	3,4	—	—	
7	4,4	18,4	12,8	427	—	253	155	—	—	—	4,1	3,5	—	—	
7	5,4	22,6	15,7	471	—	241	160	—	—	—	3,6	3,1	—	—	
8	4,4	18,4	12,8	430	—	167	—	—	—	—	—	3,6	—	—	
8	5,4	22,6	15,7	474	—	173	—	—	—	—	—	—	—	—	
2	3,8	15,9	11,1	447	250	200	168	150	100	5,1	4,6	4,3	4,2	3,7	
2	4,4	18,4	12,8	458	250	200	168	150	100	4,4	4,0	3,8	3,7	3,3	
3	3,8	15,9	11,1	449	239	191	173	115	—	4,9	4,5	4,4	3,9	—	
3	4,4	18,4	12,8	459	229	191	173	115	—	4,3	4,0	3,9	3,4	—	
4	3,8	15,9	11,1	451	—	216	195	129	—	—	4,8	4,6	3,5	—	
4	4,4	18,4	12,8	451	—	216	195	129	—	—	4,2	4,0	3,5	—	
5	3,8	15,9	11,1	453	—	—	—	—	—	3,9	—	—	—	—	
5	4,4	18,4	12,8	452	—	—	—	—	—	—	—	—	—	—	
6	3,8	15,9	11,1	453	—	240	217	144	—	—	4,4	4,2	3,6	—	
6	4,4	18,4	12,8	458	—	250	225	—	—	—	3,8	3,6	—	—	
6	5,4	22,6	15,7	498	—	239	159	—	—	—	4,4	3,8	—	—	
7	4,4	18,4	12,8	471	—	248	165	—	—	—	—	3,8	3,3	—	
7	5,4	22,6	15,7	504	—	—	174	—	—	—	—	—	4,0	—	
8	4,4	18,4	12,8	473	—	—	180	—	—	—	—	—	3,4	—	
8	5,4	22,6	15,7	514	—	—	189	—	—	—	—	—	4,1	—	
4	4,4	18,4	12,8	521	294	245	217	147	—	5,1	4,8	4,5	4,0	—	
4	5,4	22,6	15,7	556	308	256	227	154	—	4,4	4,1	3,9	3,4	—	
5	3,8	15,9	11,1	453	—	263	252	170	—	—	4,2	4,0	3,5	—	
5	4,4	18,4	12,8	458	—	—	252	170	—	—	—	—	—	—	
6	3,8	15,9	11,1	453	—	—	276	187	—	—	4,4	4,2	3,7	—	
6	4,4	18,4	12,8	458	—	—	276	187	—	—	—	—	—	—	
7	3,8	15,9	11,1	451	—	—	300	203	—	—	—	3,9	3,4	—	
7	4,4	18,4	12,8	451	—	—	300	203	—	—	—	—	—	—	
8	3,8	15,9	11,1	451	—	—	203	—	—	—	—	4,5	3,9	—	
8	4,4	18,4	12,8	451	—	—	203	—	—	—	—	—	—	—	
4	3,8	15,9	11,1	658,388*	—	—	—	—	—	—	—	—	—	—	
4	4,4	18,4	12,8	647,588*	—	—	—	—	—	—	—	—	—	—	
5	3,8	15,9	11,1	660	—	329	294	240*	—	—	5,0	4,7	4,2	—	
5	4,4	18,4	12,8	649,387*	—	—	—	—	—	—	—	—	—	—	
6	3,8	15,9	11,1	649,387*	—	—	—	—	—	—	—	—	—	—	
6	4,4	18,4	12,8	649,387*	—	—	—	—	—	—	—	—	—	—	

* Усилия от дополнительного сочетания нагрузок: постоянные, временная, вертикальная, центробежная и ветер (постоянные нагрузки с коэффициентом перегрузки n>1).

Положение равнодействующей активных сил										Устойчивость положения основания										
Геометрические характеристики фундамента					Усилия по подошве фундамента					Против скольжения					Против опрокидывания					
m	a	b	p=w/F	ΣP	ΣM	ΣP	ΣM	ΣP	ΣM	ΣP	H	K _{эф.}	ψ	N	ψΣP ≤ 0,8	Усилия по подошве фундамента				
																ΣP	ΣM	ΣP	ΣM	ΣP
3	3,2	13,4	0,697	245	163	0,95	253	230	—	—	—	—	—	0,22	265	185	0,33	—	—	—
3	3,8	15,9	0,697	254	153	0,92	264	230	—	—	—	—	—	0,22	264	162	0,29	—	—	—
5	3,2	13,4	0,697	249	167	0,95	269	18,4	—	—	0,4	—	—	0,17	269	184	0,33	—	—	—
5	3,8	15,9	0,697	258	167	0,93	277	18,4	—	—	0,4	—	—	0,17	277	184	0,32	—	—	—
6	3,8	15,9	0,697	260	158	0,88	278	15,3	—	—	0,4	—	—	0,14	278	168	0,29	—	—	—
6	4,4	18,4	0,697	269	158	0,85	287	15,3	—	—	0,4	—	—	0,13	287	168	0,28	—	—	—
2	3,8	15,9	0,697	332	206	0,89	359	31,9	—	—	0,4	—	—	0,22	359	226	0,30	—	—	—
2	4,4	18,4	0,697	342	206	0,86	367	31,9	—	—	0,4	—	—	0,22	367	226	0,29	—	—	—
4	3,8	15,9	0,697	336	221	0,95	362	23,7	—	—	0,4	—	—	0,18	362	233	0,31	—	—	—
4	4,4	18,4	0,697	345	221	0,92	370	25,7	—	—	0,4	—	—	0,17	370	232	0,30	—	—	—
5	3,8	15,9	0,697	339	215	0,92	364	21,3	—	—	0,4	—	—	0,15	364	214	0,28	—	—	—
5	4,4	18,4	0,697	347	215	0,89	372	21,3	—	—	0,4	—	—	0,14	372	214	0,28	—	—	—
6	2000	—	—	340	213	0,90	365	19,3	—	—	0,4	—	—	0,13	365	214	0,28	—	—	—
7	2000	—	—	355	233	0,95	379	19,3	—	—	0,4	—	—	0,13	379	233	0,29	—	—	—
8	3000	—	—	393	242	0,89	414	10,3	—	—	0,4	—	—	0,12	414	241	0,28	—	—	—
8	3000	—	—	358	193	0,75	382	12,8	—	—	0,4	—	—	0,08	382	137	0,21	—	—	—
8	3000	—	—	395	197	0,89	416	12,8	—	—	0,4	—	—	0,08	416	173	0,20	—	—	—
2	3,8	15,9	0,697	371	232	0,90	407	37,0	—	—	0,4	—	—	0,23	407	250	0,30	—	—	—
2	4,4	18,4	0,697	379	232	0,88	408	37,0	—	—	0,4	—	—	0,23	408	250	0,29	—	—	—
3	3,8	15,9	0,697	373	221	0,85	402	29,6	—	—	0,4	—	—	0,18	402	229	0,27	—	—	—
3	4,4	18,4	0,697	381	221	0,83	410	29,6	—	—	0,4	—	—	0,18	410	229	0,27	—	—	—
4	3,8	15,9	0,697	375	216	0,83	404	24,7	—	—	0,4	—	—	0,15	404	216	0,25	—	—	—
4	4,4																			

